

ДОСЛІДЖЕННЯ ПРОЦЕСІВ ДИСИПАЦІЇ МЕХАНІЧНОЇ ЕНЕРГІЇ В ГЕТЕРОГЕННИХ СИСТЕМАХ НА ОСНОВІ ГНУЧКОЛАНЦЮГОВИХ ЛІНІЙНИХ ПОЛІМЕРІВ

М. А. Бордюк, Т. М. Бордюк, О. М. Самсонюк, Б. С. Колупаєв

Рівненський державний гуманітарний університет,

бул. Остафова, 31, Рівне, 33000, Україна

(Отримано 16 травня 2001 р.; в остаточному вигляді — 4 березня 2002 р.)

Досліджено вплив мінеральних наповнювачів на процеси дисипації механічної енергії в гетерогенних полімерних системах на основі полівінілхлориду. На основі моделі ізотропних діелектриків проведено теоретичні оцінки поглинання ультразвукових хвиль з урахуванням утрат на розсіювання.

Ключові слова: швидкість поздовжньої й поперечної ультразвукових хвиль, динамічні модулі деформації, коефіцієнти поглинання поздовжніх і поперечних ультразвукових хвиль.

PACS number(s): 61.41.+e

ВСТУП

У досліджені фізичних властивостей і вивчені будови полімерних систем важливе значення мають акустичні методи, в тому числі в ділянці ультразвукових частот, які базуються на вимірюванні швидкості й поглинання пружних хвиль. Перевага цих методів полягає в тому, що вони дозволяють вивчати силове поле молекул, яке зумовлює швидкість звуку, та їх взаємне розміщення, кінематику й динаміку руху кінетичних одиниць, отримати інформацію про внутрішню структуру систем [1,2].

Якщо в полімерній системі збуджуються від зовнішнього джерела звукові коливання, то вони створюють у навколошньому середовищі пружні напруження, які зумовлюють поширення коливань у просторі. В ультразвукових дослідженнях при використанні хвиль великих амплітуд компоненти тензора напружені і деформації знаходяться в межах закону Гука. При таких деформаціях, знаючи швидкості поширення звукових хвиль у полімерних системах, визначають константи Ламе, а відповідно й в'язкопружні модулі полімерних композиційних матеріалів [3,4].

Поширення пружних хвиль у гетерогенних полімерних системах супроводжується поглинанням акустичної енергії. Однією з головних причин розсіювання й поглинання звуку є внутрішнє тертя (в'язкість).

Основним результатом проведених експериментальних досліджень температурної залежності в'язкості, швидкості поширення поздовжньої й поперечної звукових хвиль, відповідних коефіцієнтів поглинання, а також тангенса механічних утрат є висновок про те, що в полімерних системах наявний дуже широкий спектр часу релаксації [5].

Визначення коефіцієнта поглинання звукових хвиль у дисперсних системах [6] дозволяє встановлювати кореляцію між термодинамічними й кінетичними параметрами таких систем і їхньою будовою.

Розвиток нелінійної акустики конденсованих середовищ [7] дав змогу зробити важливий висновок про те, що поряд із геометричною наявною і структурною нелінійністю, яка зумовлена різного роду дефектами й неоднорідностями структури матеріялу.

Мета цієї роботи полягає в тому, щоб дослідити вплив високодисперсних мінеральних наповнювачів на процеси дисипації механічної енергії в наповнених полімерних системах.

I. ЕКСПЕРИМЕНТАЛЬНА ЧАСТИНА

За основний об'єкт дослідження був вибраний лінійний гнучколанцюговий полімер — полівінілхлорид (ПВХ) сусpenзійної полімеризації марки С-65, лінійної будови, очищений переосадженням із розчину, що дозволило позбутися низькомолекулярних домішок, залишків ініціатора, емульгатора, захисних колайдів. Молекулярна маса ПВХ складає $1.4 \cdot 10^5$, а константа Фікінчера — 65. Наповнювачами ПВХ використовували високодисперсні порошки фосфогіпсу (ФГ), який утворюється екстракційним способом при виробництві фосфорних добрив у процесі сірчанокислотної переробки апатитів, фосфоритів. Композиції отримували методом гарячого пресування в $T - p$ режимі при прямому змішуванні вихідного полімера з наповнювачами [8].

Якість зразків контролювали за допомогою металографічного мікроскопа й ультразвукового дефектоскопа. При такому способі введення наповнювача й пресуванні зразків відбувається повна коалесценція зерен полімера, рівномірний розподіл наповнювача в полімерній матриці, і зразки для досліджень отримують у вигляді монолітних прозорих однорідних блоків.

Вивчали в'язкопружні властивості ПВХ-композиції за допомогою ультразвукової установки, що працює за принципом диференціального випромінювання в імпульсному режимі на частоті 0.4 МГц [9].

Швидкість поширення поздовжніх (v_l) і поперечних (v_t) ультразвукових хвиль визначали згідно з роботою [10], а коефіцієнти поглинання поздовжньої (α_l) і поперечної (α_t) хвиль — за співвідношенням

$$\alpha_{l,t} = \frac{1}{d} \ln \frac{A_0}{A_{l,t}}, \quad (1)$$

де A_0 — амплітуда ультразвукової хвилі в інерсійній рідині, $A_{l,t}$ — амплітуда поздовжньої (поперечної) хвилі після проходження через зразок.

За відомими швидкостями v_l і v_t і коефіцієнтами поглинання α_l і α_t визначали дійсні й уявні частини модулів поздовжньої деформації:

$$E' = \rho v_l^2 \frac{1 - \left(\frac{\alpha_l v_l}{\omega}\right)^2}{\left[1 + \left(\frac{\alpha_l v_l}{\omega}\right)^2\right]^2}, \quad (2)$$

$$E'' = \rho v_l^2 \frac{2 \alpha_l v_l}{\left[1 + \left(\frac{\alpha_l v_l}{\omega}\right)^2\right]^2}, \quad (3)$$

зсуву:

$$\mu' = \rho v_t^2 \cdot \frac{\left(1 - \frac{\alpha_t^2 v_t^2}{\omega^2}\right)}{\left(1 + \frac{\alpha_t^2 v_t^2}{\omega^2}\right)^2}, \quad (4)$$

$$\mu'' = \rho v_t^2 \cdot \frac{\frac{2 \alpha_t v_t}{\omega}}{\left(1 + \frac{\alpha_t^2 v_t^2}{\omega^2}\right)^2}, \quad (5)$$

об'ємної деформації:

$$K' = E' - \frac{4}{3} \mu'; \quad K'' = E'' - \frac{4}{3} \mu'', \quad (6)$$

де ρ — густина композиції.

На основі математичної обробки результатів проведених експериментів похибки вимірювання в'язкопружних властивостей композицій складають: $\varepsilon_{v_l} = 0.5\%$; $\varepsilon_{v_t} = 1.5\%$; $\varepsilon_{\alpha_l} = 8.0\%$; $\varepsilon_{\alpha_t} = 10.0\%$.

ІІ. РЕЗУЛЬТАТИ ТА ЇХ ОБГОВОРЕННЯ

Результати експериментальних досліджень динамічних модулів μ' , E' , K' показали, що в ділянці склоподібного стану для систем ПВХ+ФГ вже при вмісті наповнювача (φ) 0.1–1.0 об.% спостерігаємо зміни цих величин порівняно з відповідними значеннями для вихідного полімера (рис. 1). Так, для концентраційної залежності E' від φ в ділянці концентрацій наповнювача 0–1.0 об.% ФГ бачимо ріст динамічного модуля поздовжньої деформації. Для

відповідних залежностей μ' від φ та K' від φ характер є складнішим. При введенні ФГ в кількості 0.2 об.% динамічний модуль зсуву зростає з наступним незначним зменшенням при збільшенні концентрації від 0.2–0.5 об.%. Для K' найбільший ріст є при $\varphi = 0.5$ об.%. Такий характер залежності дійсних частин динамічних модулів свідчить про структурні зміни на межі поділу фаз полімер–наповнювач [11]. Збільшення концентрації наповнювача в системі ($\varphi > 5.0$ об.%) приводить до зростання μ' , E' (рис. 2). Для залежності K' від φ характерний мінімум при $\varphi = 10.0$ об.% ФГ і максимум при $\varphi = 24.0$ об.% ФГ.

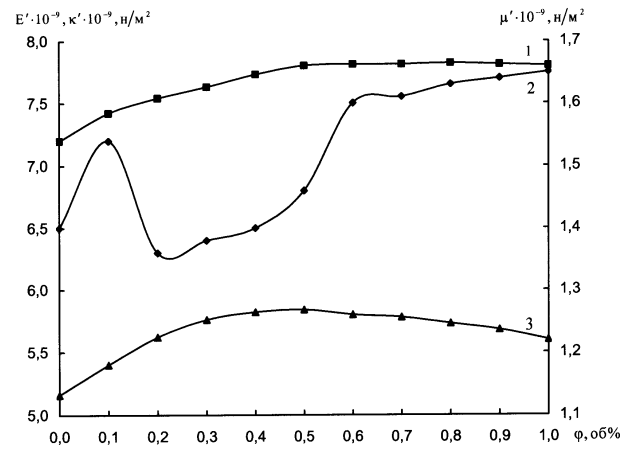


Рис. 1. Концентраційна залежність в'язкопружних властивостей систем ПВХ+ФГ при $T = 293$ К: 1 — E' ; 2 — μ' ; 3 — K' .

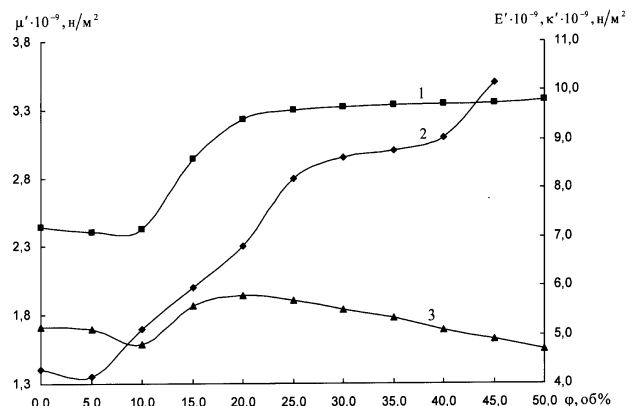


Рис. 2. Концентраційна залежність в'язкопружних властивостей систем ПВХ+ФГ в ділянці концентрацій 1.0–50.0% при $T = 293$ К: 1 — E' ; 2 — μ' ; 3 — K' .

Про наявність структурних змін, а відповідно і змін характеру внутрішньо- і міжмолекулярної взаємодії внаслідок введення мінерального наповнювача, свідчить і залежність величин уявних частин модулів поздовжньої деформації K'' і μ'' . Як видно з рис. 3, мінімальні значення E'' , μ'' спостерігаємо в ділянці

концентрацій ФГ близько 0,5–1,5 об.%. Оскільки величини E'' , μ'' визначаються, в основному, рухливістю структурних елементів макромолекул (наприклад, атомних груп CH_2 , CHCl чи бокових груп), а також надмолекулярних утворень, то це вказує на те, що при введенні незначної частки наповнювача змінюється жорсткість структурних елементів макромолекул. Причиною є утворення межових шарів, які виникають унаслідок взаємодії макромолекул з поверхнею наповнювача. Наслідком такої взаємодії макромолекул є зміна щільності упаковки і впорядкованості розміщення структурних елементів макромолекул у цих шарах. Збільшення частки ФГ в композиціях ПВХ+ФГ приводить до зростання μ'' , E'' , K'' , що вказує на підвищення інтенсивності руху структурних елементів макромолекул у межових шарах і збільшення дисипативних утрат енергії, що передається ультразвуковими хвилями.

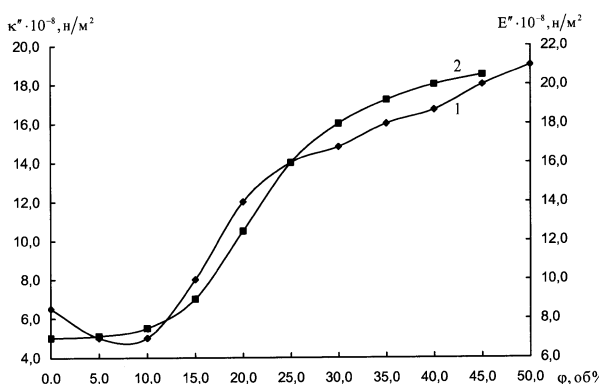


Рис. 3. Концентраційна залежність E'' (1); K'' (2); систем ПВХ+ФГ при $T = 293$ K.

Дослідження температурної залежності μ' , E' , K' для вихідного ПВХ та систем ПВХ+ФГ показало, що для розглянутих ділянок концентрації ФГ з підвищением температури величина модулів μ' , E' , K' зменшується. Так, для систем ПВХ+3 об.% ФГ залежність E' , K' характеризується суттєвим зменшенням цих величин у ділянці температур 355–363 K, тобто при переході зі склоподібного у високоеластичний стан, а для залежності μ' такі зміни спостерігаємо при температурі 323–333 K, що відповідає β -переходу для цих систем [12].

Із підвищением температури змінюється й вид температурної залежності E'' , μ'' , K'' . Так, для систем ПВХ+2 об.%ФГ, ПВХ+3% об.ФГ, ПВХ+5% об. ФГ мінімум величини μ'' зміщується на 8–12 K в бік менших температур за відношенням до відповідної залежності для вихідного ПВХ, а максимум величини K'' — відповідно на 15–22 K. Зсув мінімумів і максимумів на температурній залежності μ'' , K'' для ПВХ-систем порівняно з відповідними залежностями для вихідного полімера пояснюється різними макроскопічними процесами деформації ПВХ і наповнен-

них систем. Оскільки в полімері, який не перебуває в стані межового шару, структурні зміни не відбуваються [13], то зміна характеру процесів деформації в наповнених ПВХ-системах зумовлена структурними змінами в самому межовому шарі.

Якщо розглянути межовий шар як такий, що складається з двох ділянок — щільної й розпущені, то з урахуванням того, що макромолекули ПВХ містять полярні бокові групи (атоми Cl), а на поверхні ФГ розміщаються йони Ca, P, F, Si, можливе утворення міжних координаційних зв'язків за типом донорно-акцепторної взаємодії. Є припущення, що акцепторні центри достатньо густо розміщені на поверхні фосфогіпсу, так що електрони донорного шару переходять у найближчий акцепторний центр, розміщений навпроти донорного; з умови мінімуму вільної енергії, за відношенням до числа прореагованих донорно-акцепторних пар, знайдемо сили адгезії на межі поділу полімер-наповнювач. Для кількості таких пар $n \sim 10^{11} - 10^{13}$ оцінка сили адгезії дає значення $10^6 \text{ Н}/\text{м}^2$.

З іншого боку, оцінку сил взаємодії на межі поділу фаз полімер-наповнювач можна зробити, якщо вважати, що на поверхні наповнювача атоми, молекули мають щільну упаковку, то кількість центрів взаємодії дорівнює $N \approx 4R^2/r^2$, де R — радіус частинки наповнювача, r — лінійні розміри атома чи молекули частинки наповнювача. Вважаючи, що на поверхні наповнювача існує 1–2% активних центрів, які можуть взаємодіяти зі структурними елементами макромолекул [14], можна знайти сумарну силу взаємодії:

$$F = \sum_{i=1}^{bN} F_i, \quad (7)$$

де b — визначає частку структурних елементів поверхні, які взаємодіють зі структурними елементами макромолекул; F_i — значення одиничної сили взаємодії. Для встановлення значення цієї сили використовуємо міжчастинковий (міжструктурний) потенціал Леннарда-Джонса [4]. Тоді:

$$F_i(r) = \frac{\partial \varphi(r)}{\partial r} = \frac{\partial}{\partial r} \left[\frac{N_0}{2} \left[\sum_{r_i=0}^{r_i=\infty} 4D \left[\left(\frac{a}{r} \right)^{m_1} - \left(\frac{a}{r} \right)^{m_2} \right] \right] \right], \quad (8)$$

де $m_1 = 12$, $m_2 = 6$, N_0 — кількість структурних елементів макромолекул, розміщених на віддалі r від основного центра. Якщо при розгляді міжмолекулярної взаємодії в межовому шарі (особливо при реалізації водневих зв'язків) використати потенціал Морзе, то сила, з якою цей структурний елемент взаємодіє з поверхнею наповнювача, складає:

$$F_i(r) = \frac{\partial}{\partial r} \left[\frac{N}{2} \sum_{r_i=0}^{r_i=i'} D \cdot \left(e^{-2\gamma(r-a)} - 2e^{-\gamma(r-a)} \right) \right], \quad (9)$$

де D — енергія зв'язку, γ — постійна, пов'язана зі значенням амплітуди коливань взаємодіючих структурних елементів. При такому підході величина сил адгезії складає $10^6 \div 10^7 \text{ Н}/\text{м}^2$. Порівняння сил взаємодії на межі поділу фаз полімер–наповнювач із відповідними значеннями цих сил між структурними елементами макромолекули показує, що в першому випадку вони дещо вищі. Таким чином, межовий шар можна моделювати у вигляді щільної упаковки зі значною міжмолекулярною взаємодією в першій ділянці, яка знаходиться безпосередньо біля поверхні наповнювача (на межі поділу полімер–наповнювач) і лінійні розміри якої складають $1\text{--}2 \text{ мкм}$ [15], та другій ділянці, зі слабшою міжмолекулярною взаємодією й інтенсивнішою рухливістю структурних елементів.

Тому при прикладенні до таких композицій напружені зсуви найінтенсивніше будуть рухатися ті структуроутворення полімеру, що знаходяться в розпушенні ділянці межового шару, тобто саме в цих ділянках відбуватиметься деформація зсуву. При збільшенні концентрації наповнювача $\varphi \geq 5 \text{ об.\%}$ частина полімеру, який знаходиться в розпушенні ділянці, переходить у ділянку щільнішого пакування, про що свідчить зростання модулів E' , μ' .

Зіставляючи отримані експериментальні значення з теоретично розрахованим на основі методу самоузгодженого поля, отримуємо

$$E_T = \lambda_T + 2\mu_T = \frac{\lambda_1 + 2\mu_1}{1 - \varphi A}, \quad (10)$$

де

$$A = \frac{\lambda_2 + \frac{2}{3}\mu_2 - \lambda_1 - \frac{2}{3}\mu_1}{\lambda_2 + \frac{4}{3}\mu_1 + \frac{2}{3}\mu_2} + \frac{20(\mu_2 - \mu_1)}{2\frac{\mu_2}{\mu_1}(3\lambda_1 + 8\mu_1)(9\lambda_1 + 14\mu_1)},$$

λ_1 , μ_1 , λ_2 , μ_2 — пружні постійні Ламе ПВХ і ФГ відповідно. Оцінімо відносну зміну модуля поздовжньої деформації.

Співвідношення (10) можна подати у вигляді:

$$\frac{\Delta E}{E} = \frac{E - E_T}{E} = \varphi A.$$

Як показують результати обчислень, теоретичні значення A і розраховані на основі експериментальних значень модулів поздовжньої деформації складають відповідно 1.18 і 1.20 для концентрацій наповнювача $\varphi < 6 \text{ об.\%}$. При зростанні концентрації наповнювача розходження між теоретичними значеннями й експериментальними збільшується, що зумовлено зростанням відносного об'єму, який займають час-

тинки наповнювача. Тому використання цієї теорії не бажане.

Для оцінки дефекту модуля зсуву будемо враховувати вплив внутрішнього тертя. У праці [16] показано, що при використанні експоненціального закону розподілу густини сегментів в адсорбційному шарі середня величина роботи, яку необхідно затратити, щоб зблизити центри двох структурних підсистем, залежить від типу наповнювача, стану полімерної матриці та інших факторів.

При цьому беремо до уваги, що макромолекула закріплена активними центрами. У цьому випадку рух такої системи описуємо як систему інтегродиференціальних рівнянь типу:

$$\begin{aligned} \frac{\partial^2 \sigma}{\partial x^2} - \frac{\rho}{\mu} \frac{\partial^2 \sigma}{\partial t^2} &= \frac{L\rho a}{l} \frac{\partial^2}{\partial t^2} \int_0^1 \alpha dy, \\ A \frac{\partial^2 \alpha}{\partial t^2} + B \frac{\partial \alpha}{\partial t} - C \frac{\partial^2 \alpha}{\partial x^2} &= a\sigma, \end{aligned} \quad (11)$$

де ρ — густина системи; μ — модуль зсуву; L — загальна довжина структурних елементів; α — зміщення структурного елемента від положення рівноваги; a — ефективні розміри статистичного сегмента Куна; $A = \pi\rho a^2$; $C = \frac{2\mu a^2}{\pi(1-\nu)}$; ν — коефіцієнт Пуасона, $B \frac{\partial \alpha}{\partial t}$ — демферуюча сила на одиницю довжини.

Якщо σ є періодичною функцією часу і не залежить від координати y , а частота дорівнює одній з непарних гармонік, то отримаємо:

$$\begin{aligned} Q(\omega) &= L\beta\eta^2 \frac{\omega d}{(\omega_0^2 - \omega^2) + (\omega d)^2} \\ v(\omega) &= v_0 \left[1 - \frac{L\beta\eta^2}{2\pi} \cdot \frac{\omega_0^2 - \omega^2}{(\omega_0^2 - \omega^2)^2 + (\omega d)^2} \right], \end{aligned} \quad (12)$$

v_0 — швидкість звуку в полімерній матриці, $\beta = \frac{8\mu a^2}{\pi C}$; $\eta^2 = \frac{\pi C}{Al}$.

Характерно, що величина зміни швидкості $v(\omega) - v_0$ ($v(\omega)$ — швидкість у композиціях) зумовлена зміщенням структурного елемента, який перебуває у фазі з прикладеними напруженнями [17]. Компонента зміщення, яка не збігається за фазою з прикладеною напругою, зумовлює поглинання $Q(\omega)$ енергії за період. Відповідно зміна модуля зсуву залежно від частоти дії зовнішнього механічного поля має вигляд:

$$\frac{\Delta \mu}{\mu} = \frac{L\beta}{\pi l} \frac{1 - \left(\frac{\omega}{\omega_0}\right)^2}{\left[1 - \left(\frac{\omega}{\omega_0}\right)^2\right]^2 + \left(\frac{\omega d}{\omega_0}\right)^2}. \quad (13)$$

Залежність $Q(\omega)$ при $L \sim \text{const}$ і малих деформаціях буде лінійною до резонансної частоти $\omega = \omega_0$, вона проходить через максимум і далі зменшується

як $1/\omega^3$. Для великих деформацій залежність $Q(\omega)$ лінійна до максимуму, який спостерігаємо при $\omega < \omega_0$. У діапазоні резонансної частоти вона змінюється обернено пропорційно до ω і далі спадає як ω^{-3} . Максимум залежності $Q(\omega)$ для композицій може бути "розмитим" з урахуванням того, що відбувається розподіл структурних елементів за їхніми розмірами залежно від концентрації активних центрів та дисперсності наповнювача.

Оцінімо дефект модуля зсуву для частоти досліджень $\omega = 2.512 \cdot 10^6$ Гц. Урахувавши значення C , виразимо відносну зміну модуля зсуву через коефіцієнт Пуассона:

$$\frac{\Delta\mu}{\mu} = \frac{4L(1-\nu)}{l\pi^2} \frac{1 - \left(\frac{\omega}{\omega_0}\right)^2}{\left[1 - \left(\frac{\omega}{\omega_0}\right)^2\right]^2 + \frac{\omega^2 d^2}{\omega_0^2}}, \quad (14)$$

Якщо відомі швидкості поширення поздовжніх та поперечних ультразвукових хвиль у гетерогенних полімерних системах, значення коефіцієнта Пуассона знаходимо як:

$$\nu = \frac{2 - \left(\frac{v_l}{v_t}\right)^2}{2 \left[1 - \left(\frac{v_l}{v_t}\right)^2\right]}. \quad (15)$$

Оцінки лінійних розмірів макромолекули ПВХ (ступінь полімеризації 2240), яка може перебувати в

різних конформаціях, показують, що для клубка в гауссової моделі відстань між кінцями макромолекули дорівнює 0.02 мкм для вільно-з'єднаного просторово-шарнірного ланцюга — 0.148 мкм (при довжині сегмента Куна $a = 29.6 \text{ \AA}$, а для витягнутого ланцюга — 0.385 мкм. Отже, лінійні розміри макромолекул значно менші, ніж відстань між частинками наповнювача, яка для розглянутих систем при даній дисперсності ФГ складає $2.14 \div 5.27$ мкм. Резонансні частоти коливань для конформації витягнутого ланцюга складають $1.957 \cdot 10^{10}$ Гц. Відповідні значення резонансних частот для сегмента Куна — $2.546 \cdot 10^{12}$ Гц, а для вільно-з'єднаного просторово-шарнірного ланцюга — $5.092 \cdot 10^{10}$ Гц.

Коли під дією зовнішньої періодичної сили коливається атомні групи макромолекул, розміри яких складають 1.54 \AA , а частота коливань — $2.155 \div 2.386 \cdot 10^{13}$ Гц [14], то відносна зміна динамічного модуля зсуву буде близько $0.07 \cdot 10^{-4}$ (таблиця), тобто дуже малою величиною. Якщо діє періодична сила значно вищих амплітуд, коли в процес втягуються сегменти Куна, величина $\Delta\mu/\mu$ зростає. Максимальні зміни модуля зсуву спостерігаються в конформації витягнутого ланцюга. У цьому разі $\Delta\mu/\mu$ складає близько $15 \div 17\%$.

Дефект модуля зсуву спостерігається завжди, незалежно від того, чи закріплений структурний елемент активним центром, чи ні. Це знаходить своє підтвердження при дослідженні ПКМ у випадку низького рівня напруг, коли відбуваються гістерезисні процеси, що зумовлюють дисипативні втрати, які лінійно зростають із ростом σ .

$\varphi, \text{ об.\%}$	ν	Дефект модуля зсуву $\Delta\mu/\mu$ при різних ступенях рухливости				
		атомні групи	сегмент Куна	конформація Гауссовий клубок	вільно-з'єднаного ланцюга	витягнутого ланцюга
0.1	0.37	$0.066 \cdot 10^{-4}$	$1.26 \cdot 10^{-4}$	$8.51 \cdot 10^{-4}$	$63.0 \cdot 10^{-4}$	$163.8 \cdot 10^{-4}$
0.5	0.37	$0.066 \cdot 10^{-4}$	$1.26 \cdot 10^{-4}$	$8.51 \cdot 10^{-4}$	$63.0 \cdot 10^{-4}$	$163.8 \cdot 10^{-4}$
1.0	0.36	$0.067 \cdot 10^{-4}$	$1.28 \cdot 10^{-4}$	$8.65 \cdot 10^{-4}$	$64.0 \cdot 10^{-4}$	$166.4 \cdot 10^{-4}$
2.0	0.36	$0.067 \cdot 10^{-4}$	$1.28 \cdot 10^{-4}$	$8.65 \cdot 10^{-4}$	$64.0 \cdot 10^{-4}$	$166.4 \cdot 10^{-4}$
3.0	0.35	$0.068 \cdot 10^{-4}$	$1.30 \cdot 10^{-4}$	$8.79 \cdot 10^{-4}$	$65.0 \cdot 10^{-4}$	$169.0 \cdot 10^{-4}$
5.0	0.35	$0.068 \cdot 10^{-4}$	$1.30 \cdot 10^{-4}$	$8.79 \cdot 10^{-4}$	$65.0 \cdot 10^{-4}$	$169.0 \cdot 10^{-4}$
10.0	0.33	$0.070 \cdot 10^{-4}$	$1.34 \cdot 10^{-4}$	$9.06 \cdot 10^{-4}$	$67.0 \cdot 10^{-4}$	$174.2 \cdot 10^{-4}$
20.0	0.33	$0.070 \cdot 10^{-4}$	$1.34 \cdot 10^{-4}$	$9.06 \cdot 10^{-4}$	$67.0 \cdot 10^{-4}$	$174.2 \cdot 10^{-4}$

Таблиця. Концентраційна залежність коефіцієнта Пуассона і дефекту модуля зсуву для систем ПВХ+ФГ.

Зроблені висновки знаходять своє підтвердження при дослідженні і розгляді концентраційної та температурної залежності α_l і α_t (рис. 4 а, б) ПВХ-композицій. Слід відзначити, що в усьому діапазоні концентрацій ФГ величини α_l і α_t систем ПВХ + ФГ менші, ніж для вихідного ПВХ.

Ураховуючи, що експериментальні значення α_1 складаються з утрат на розсіювання від межі частинок фосфогіпсу і власних дисипативних утрат у самій матриці та межовому шарі, проведімо теоретичні роз-

рахунки втрат на розсіювання для ПВХ-композицій у релейському наближенні:

$$\alpha_1^* = \frac{\pi^4}{3} q_1 \frac{f^4}{v_1^4} \bar{D} \varphi, \quad (16)$$

де $q_1 = 18.4$; \bar{D} — діаметр частинки наповнювача, f — частота.

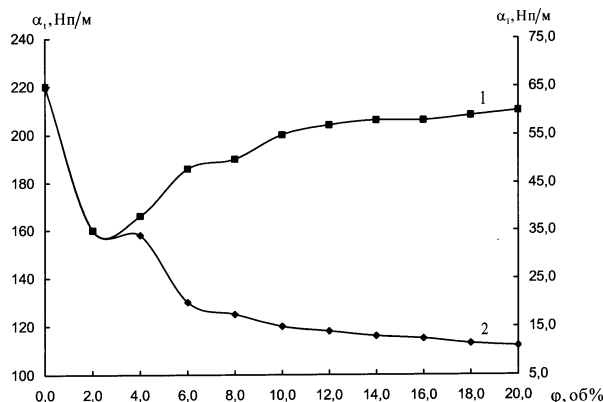


Рис. 4а. Концентраційна залежність α_l (1), α_t (2) для систем ПВХ+ФГ при $T = 293$ К.

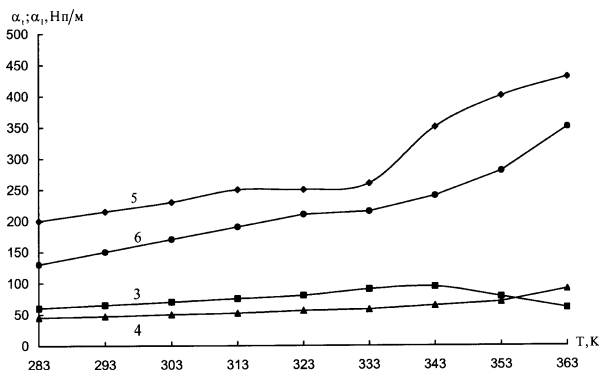


Рис. 4б. Температурна залежність α_l (3, 4) і α_t (5, 6) для композицій ПВХ (3, 5); ПВХ+ФГ (4, 6).

Обчислення показують, що значення α_1^* складають $10^{-2} - 10^{-3}$ %, і основну роль у процесі дисипації енергії відіграє полімерне в'язуче.

Аналіз температурної залежності α_l і α_t ПВХ-композицій свідчить, що максимум дисипативних утрат енергії елементами структури композицій спостерігаємо в ділянці температурного α -переходу.

Згідно з термодинамічним підходом можна оцінити величину поглинання механічної енергії поздовжньої хвилі за рахунок в'язкості й теплопровідності:

$$\alpha_{1\text{теор.}} = \frac{\omega^2}{2\rho v_l^3} \left[\left(\frac{4}{3}\eta + \eta' \right) + \lambda \frac{c_p - c_V}{c_p c_V} \right], \quad (17)$$

де другий доданок визначає внесок теплопровідності в поглинання енергії. Як показують результати розрахунків для розглянутих систем, теплопровідність не дає суттєвого внеску в величину α_l . Оскільки в процесі поширення звукових хвиль у полімерних системах відбувається релаксація об'ємної в'язкості, визначмо внесок у α_l релаксуючої об'ємної в'язкості $\alpha_{p.b.}$:

$$\alpha_{p.b.} = \frac{\omega^2}{2\rho v_l^3} \frac{\eta'}{1 + \omega^2 \tau^2}. \quad (18)$$

Оцінка $\alpha_{p.b.}$ показує, що при дії ультразвукової хвилі на структурні елементи типу атомних груп чи теплові фонони ($\omega \tau \ll 1$) $\alpha_{p.b.} \approx \text{const}$. Якщо діє ультразвукова хвилі на структурні елементи з часом релаксації $\sim 10^{-6}$ с, величина $\alpha_{p.b.}$ є змінною. Для розглянутих систем релаксуюча об'ємна в'язкість дає внесок у дисипативні втрати поздовжньої ультразвукової хвилі $\sim 4-12$ % від величини загального коефіцієнта поглинання.

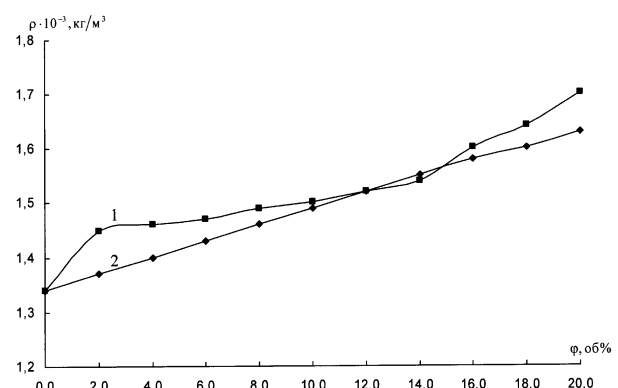


Рис. 5а. Концентраційна залежність ρ (1,2) для композицій ПВХ+ФГ: 1 — експеримент; 2 — теорія.

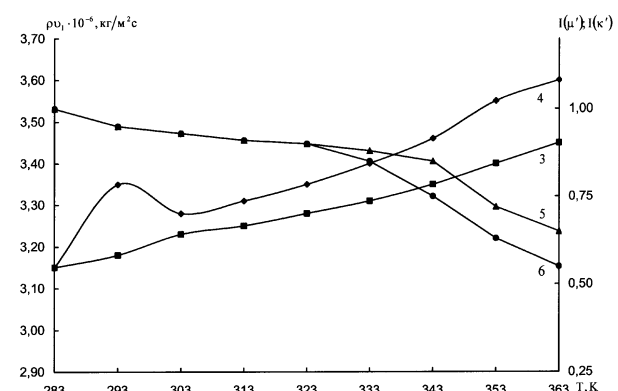


Рис. 5б. Температурна залежність ρv_l (3, 4); $I(\mu')$ (5); $I(K')$ (6) для композицій ПВХ+ФГ. Крива 4 — теоретичні розрахунки.

Розрахунки розподілу часу релаксації для зсувного й об'ємного релаксаційних процесів, згідно зі співвідношеннями,

$$I(\mu') = \frac{\mu'}{\mu'_{\infty}} = \int_0^{\infty} \frac{(\omega \tau)^2 q(\tau)}{1 + (\omega \tau)^2} d\tau$$

$$I(K') = \frac{K' - K'_0}{K'_\infty - K'_0} = \int_0^\infty \frac{(\omega\tau)^2 K(\tau)}{1 + (\omega\tau)^2} d\tau, \quad (19)$$

де $q(\tau)$ і $K(\tau)$ — функції розподілу часу релаксації при зсувних та об'ємних деформаціях, показали (рис. 5 а, б), що механізм об'ємної деформації близький до механізму зсувної в ділянці незначного вмісту ФГ, що зумовлено широким розподілом часу релаксації структурних елементів.

Отже, при поширенні ультразвукових хвиль у системах, що містять незначну кількість ФГ в деформації зсуву й об'ємній деформації, беруть участь одні й ті ж структурні елементи, однак їхня рухливість і взаємодії між собою можуть бути різними. У ділянці вмісту ФГ $\varphi \geq 2 \text{ об. \%}$, тобто при взаємодії звукової хвилі зі структурними елементами макромолекул з урахуванням релаксаційного спектра їхніх часів релаксації, основний внесок у поглинання енергії робить деформація зсуву.

- [1] И. И. Перепечко, В. П. Кузьмин, А. А. Донцов, Т. В. Литвинова, Высокомолекулярные соединения А **29**, 1719 (1987).
- [2] Н. А. Бордюк, С. М. Гусаковський, С. Н. Іванщук, Б. С. Колупаев, Акустический журнал **44**, 21 (1998).
- [3] И. И. Перепечко, В. А. Данилов, В. В. Нижегородов, Высокомолекулярные соединения Б **38**, 1438 (1996).
- [4] М. Бордюк, С. Іванщук, Б. Колупаев, Журн. фіз. досл., **1**, 217 (1997).
- [5] И. Г. Михайлов, В. А. Соловьев, Ю. П. Сырников, Основы молекулярной акустики (Наука, Москва, 1964).
- [6] В. С. Сперкач, А. Л. Стрибулевич, А. П. Руденко, Т. П. Танцюра, Укр. фіз. журн. **38**, 1793 (1993).
- [7] В. А. Красильников, Акустический журнал **45**, 423 (1999).
- [8] Б. С. Колупаев, Н. А. Бордюк, Ю. С. Липатов, Композиционные полимерные материалы **19**, 3 (1983).
- [9] Б. С. Колупаев, Физико-химия полимеров (Вища школа, Львов, 1978).
- [10] Б. С. Колупаев, Релаксационные и термические свойства наполненных полимерных систем (Вища школа, Львов, 1978).
- [11] Ю. С. Липатов, Физико-химические основы наполнения полимеров (Химия, Москва, 1990).
- [12] В. А. Берштейн, В. М. Егоров, Дифференциальная сканирующая калориметрия в физикохимии полимеров (Химия, Москва, 1990).
- [13] Ю. С. Липатов, Коллоидная химия полимеров (Наукова думка, Київ, 1984).
- [14] Н. А. Бордюк, Б. С. Колупаев, В. В. Левчук, В. Г. Касаткин, Высокомолекулярные соединения А **38**, 1006 (1996).
- [15] М. А. Бордюк, Б. С. Колупаев, О. М. Волошин, В. В. Левчук, Укр. фіз. журн. **41**, 111 (1996).
- [16] М. А. Бордюк, О. М. Волошин, Б. С. Колупаев, Б. П. Дем'янюк, С. М. Іванщук, В. І. Ларіна, Фізика конденсованих високомолекулярних систем **1**, 25 (1993).
- [17] Б. С. Колупаев, Фізика конденсованих високомолекулярних систем **3**, 3 (1997).

STUDY OF DISPERSION OF MECHANICAL ENERGY IN POLYSYSTEMS ON FLEXIBLE CHAIN LINEAR POLYMERS BASE

N. A. Bordjuk, T. N. Bordjuk, O. M. Samsonjuk, B. S. Kolupaev

Rivne University,

31 Ostafova Str., Rivne, UA-33000, Ukraine

The influence of mineral fillings on dispersion processes of mechanical energy in polymeric systems on the polyvinylchloride base was studied. Theoretical tests of absorption of ultrasonics waves with taking into consideration losses on dispersion were developed on base of the model of isotropic dielectrics.